

日本大学工学部 正会員 深谷 宗吉
 日本大学工学部 正会員 中村 立正
 日本大学大学院 学生員 ○藤巻 洋一

1.はじめに

固着性生物膜を利用して処理法では高次の生態系をもつことにより、BOD・SSの除去、アンモニア性窒素の硝化などが有効に行なわれる処理法であると考えられる。本報では接触酸化法における浄化機構を明らかにすることを目的とするものである。

2.実験装置および実験方法

実験装置の概略を図-1に示す。接触槽は一槽の有効容積6lのものを4槽直列に設置し、各槽にはそれを4.5lの沈殿池を設けている。接触槽各槽には接触充填材として網(ネット: 有効面積486cm²/枚)を帯び6枚設置して実験を行なった。基質としてスキムミルクを用いた。設定期間は6.4hrとした。

測定水質項目は下水試験法に基づいて行なった。

3.実験結果と考察

流入水と処理水のBODの経日変化を図-2に示す。流入水のBODは100~471mg/l、平均値210mg/lである。処理水のBODは6~30mg/l、平均値14mg/lという結果を得た。BOD除去率については86~96%の範囲にあり平均で約93%の除去率である。各槽毎のBOD濃度は流入水で210mg/lものが、第1槽では100mg/lと低下し第2槽、22mg/lとなり処理水では約14%と低下した。

DONについてみるとBOD濃度の低下とは逆相関関係となり、しだいに増加する傾向を示している。窒素類につて各槽毎の変化を図-3に示す。アルドミノイド性窒素がNH₃-Nに変化し、これが第1槽と第2槽でのアルドミノイド性窒素の減少とNH₃-Nの増加の形となって表われるものと思われる。その後、NH₃-Nは減りNO₂-Nの形を経てNO₃-Nの増加へと移行している。NH₃-Nの減少とそ

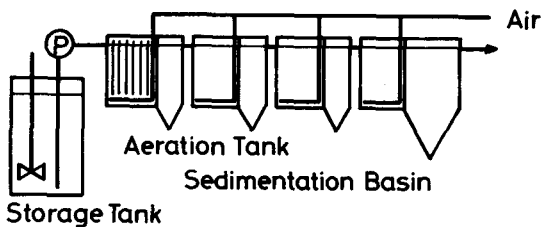


図-1 実験装置

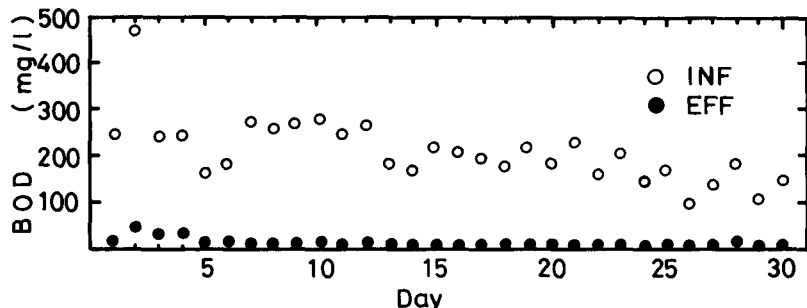


図-2 BODの経日変化

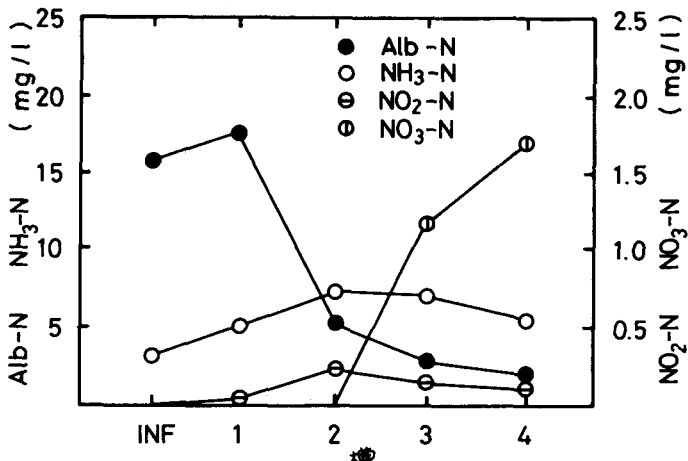


図-3 Alb-N, NH₃-N, NO₂-N, NO₃-N
 第1槽と第2槽でのアルドミノイド性窒素の減少とNH₃-Nの増加の形となって表われるものと思われる。その後、NH₃-Nは減りNO₂-Nの形を経てNO₃-Nの増加へと移行している。NH₃-Nの減少とそ

の後、 $\text{NO}_2-\text{N} \cdot \text{NO}_3-\text{N}$ の増加により、硝化作用が進むこととなる。

総酸度・総アルカリ度・pH・電導度の槽内変化を図-4に示す。pHについては流入水で5.6である。以下、6.8, 7.3, 7.6, 7.6という結果となる。総酸度については漸次減少傾向を示しており、総アルカリ度では微生物による酸化作用による重炭酸塩・炭酸塩等生成じ微生物の代謝活性の強さに応じてこのような結果がでるものと推測される。

付着生物膜の乾燥重量はオ1槽で 27 g/m^2 、オ2槽で 25 g/m^2 となり、オ3, 4槽では減少してオ3槽で 8 g/m^2 、 5 g/m^2 という値を示し、後段ほど生物膜は薄くなる。オ1槽では生物膜が厚くなり、生物膜表面は好気性であり、内部は嫌気的状態となっており脱落しやすくなっている。

各槽での出現微生物について図-5に示す。細菌数についてみるとオ1槽では $6.5 \times 10^{10} \text{ c.f.u./ml}$ と高い値を示し以降だいに減少している。これで生物膜処理が安定して処理水を得ることのできる理由であると思われる。生物相についてみるとオ1槽では細菌の増殖が活発であり、細菌等を主体とした生物相になっている。オ2, 3槽においては纖毛虫類・鞭毛虫類が慢性的に出現し、輪虫類・根足虫類なども確認され原生動物・後生動物の増殖がさかんになっている。BOD濃度が低くなるためにオ4槽では細菌数・出現微生物数とも少なくなっている。生物膜では高次の栄養レベルの生物が生息するところから食物連鎖が長くなる。(図-6)さらには高次の生態系をもつことに伴う汚泥量が減少することから考えて原生動物・後生動物の占る役割はすくめで重要なとと思われる。

おわりに

接触酸化法は高次の生態系をもつてから、負荷変動に対しても安定して処理水が得られる。BOD・S₅の除去はより確実な期待ができる。今後、本法における浄化機構を動力学的に解明し、さらに低BOD濃度での処理実験を行、アンモニア性窒素の硝化過程を把握してゆきたい。

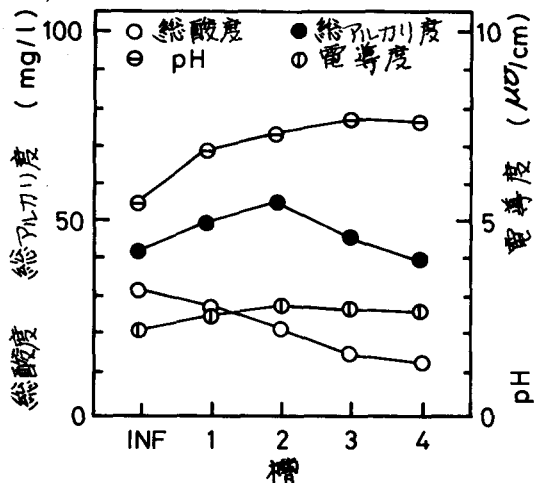


図-4 総酸度・総アルカリ度・pH・電導度

	1	2	3	4
Zoogloea	+	+	+	+
Sphaerotilus	+	+	+	+
Amoeba		+	+	+
Euglypha		+	+	+
Oikomonas	+	+	+	+
Bodo	+	+	+	+
Vorticella	+	+	+	+
Colpoda	+	+	+	+
Lacrymaria	+	+	+	+
Spathidium	+	+	+	+
Paramecium	+	+	+	+
Podophrya	+	+	+	+
Cephalodella		+	+	+
Philodina	+	+	+	+
Rotaria	+	+	+	+
Lecane	+	+	+	+
Trichocerca		+	+	+
Diprogaster	+	+	+	+

図-5 各槽における出現微生物

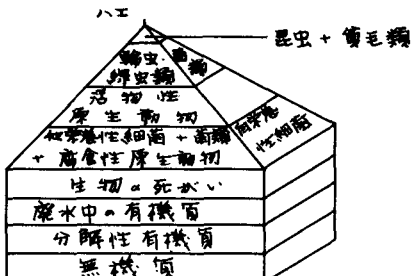


図-6 生物膜における食物環の模式図